

## Керровские нелинейности в оптомеханической системе с несимметричным ангармоническим механическим резонатором

А. П. Сайко<sup>+1</sup>), Г. Г. Федорук\*, С. А. Маркевич<sup>+</sup>

ГО “НПЦ НАН Беларуси по материаловедению”, 220072 Минск, Беларусь

\*Institute of Physics, University of Szczecin, 70-451 Szczecin, Poland

Поступила в редакцию 17 декабря 2020 г.

После переработки 3 марта 2021 г.

Принята к публикации 9 марта 2021 г.

В рамках несекулярной теории возмущений, основанной на методе усреднения Боголюбова, исследуется оптомеханическая система с несимметричным ангармоническим механическим резонатором. Построенный эффективный гамильтониан содержит кросс-керровское взаимодействие и керровское самодействие фотонов и вибрационных квантов. Эти взаимодействия вызваны как кубической, так и четвертой нелинейностями колебаний механического резонатора, и оптомеханической связью, линейной по механическим смещениям. Продемонстрировано бистабильное поведение среднего числа вибрационных квантов, которое управляется кросс-керровским взаимодействием. Показано, что в отсутствие возбуждения и диссипации построенные суперпозиционные состояния типа Юрке–Столера оптического (или механического) резонатора в определенные моменты времени распутывают запутанные моды системы. Полученные результаты открывают новые возможности управления оптомеханическими системами с несимметричными механическими колебаниями.

DOI: 10.31857/S1234567821070107

Оптомеханические системы дают возможность управления светом с помощью механического движения и наоборот. Связь между светом и колебаниями механического резонатора обычно достигается посредством давления света. Эта связь приводит к изменению резонансной частоты механического резонатора и его затухания, что может использоваться для охлаждения механических колебаний [1–3] или их усиления [4]. Нелинейность оптомеханического взаимодействия позволяет реализовать квантовые сжатые состояния [5]. Такие состояния могут быть созданы только в режиме сильной связи [6], когда константа связи больше скоростей затухания оптического и механического резонаторов. При сильном оптическом управляющем поле можно реализовать режим многофотонной сильной связи и большинство наблюдаемых физических явлений объясняются в рамках линейного описания [6]. В этом случае были исследованы неклассические состояния [7, 8], квантовая запутанность [9–11], передача квантового состояния [12–14], оптомеханически индуцированная прозрачность [15–17] и расщепление нормальных мод [18, 19]. Оптомеханическое взаимодействие по своей сути нелинейно [6]. В экспериментах эта нелиней-

ность до сих пор играла роль только в классическом режиме световых и механических колебаний большой амплитуды.

Взаимодействие оптического и механического резонаторов может быть усилено, например, за счет нелинейности, связанной с эффектом Джозефсона [20]. Эта нелинейность приводит к дополнительно нелинейному взаимодействию, а именно, к кросс-керровской связи между оптическим и механическим резонаторами. Взаимодействия более высокого порядка по смещениям были исследованы также в устройствах со специальной геометрией механического резонатора [21–23]. Кросс-керровская связь вызывает изменение показателя преломления оптического резонатора, зависящее от количества квантов механических колебаний, тогда как связь посредством давления излучения вызывает эффект Керра, зависящий от смещения механического резонатора. В нелинейной оптике [24] эффект Керра обычно возникает в нелинейных диспергирующих средах из-за третьего порядка взаимодействия света с веществом. Было показано [25], что нелинейный гамильтониан Керра может быть записан в явном виде с использованием приближения Борна–Оппенгеймера для стандартного гамильтониана оптомеханической системы (в системе отсчета, вращающейся с частотой

<sup>1</sup>)e-mail: saiko@physics.by

управляющего поля). Тот же результат был получен при использовании поляроноподобного преобразования [26, 27].

Механические резонаторы оптомеханических систем обычно моделируются гармоническими осцилляторами или, реже, нелинейными осцилляторами Дуффинга с нелинейностью четвертого порядка, которая обычно слаба. Однако нелинейность механических резонаторов может быть значительно увеличена за счет технологических усовершенствований используемых материалов, геометрии системы и дополнительных приспособлений [28–30]. Для механических резонаторов роль асимметричных потенциалов, которые не инвариантны относительно изменения знака смещения, менее изучена. Мы имеем в виду осцилляторы с потенциалами, включающими линейный и кубический члены по смещению. Оптомеханические системы, в которых механический резонатор моделируется ангармоническим осциллятором с вынуждающими членами, зависящими от кулоновского взаимодействия, были рассмотрены в [31–33]. В рамках этой модели была изучена возможность прецизионного измерения электрического заряда с использованием оптомеханической индуцированной прозрачности [31], зависящий от кулоновского взаимодействия эффект генерации боковых полос высокого порядка [32], а также индуцированная кулоновской силой прозрачность и преобразование между медленным и быстрым светом [33]. Недавно была рассмотрена электромагнитная индуцированная прозрачность при наличии подвижного зеркала в кубическом потенциале [34]. Был проанализирован стационарный механический сквизинг благодаря дуффинговской и кубической нелинейностям [35]. В [36] изучались также дуффинговский и кубический ангармонизмы квантовых осцилляторов в оптомеханическом резонаторе.

В данной работе в рамках несекулярной теории возмущений, основанной на методе усреднения Боголюбова, исследуется оптомеханическая система с несимметричным ангармоническим механическим резонатором. Из-за усреднения ангармонические механические колебания, кубические и квартетные по смещениям, вместе с линейным по смещениям взаимодействием оптического и механического резонаторов приводят к керровской и кросс-керровской нелинейностям, которые являются определяющими особенностями оптомеханической системы.

Физические свойства типичной оптомеханической системы можно описать в рамках следующего гамильтониана [6]:

$$H = H_0 + V, \quad (1)$$

$$H_0 = \omega_c a^\dagger a + \Omega b^\dagger b, \quad V = -ga^\dagger a(b^\dagger + b),$$

где  $\omega_c$  – частота оптического резонатора,  $\Omega$  – механическая частота,  $g$  – константа оптомеханической связи, а  $a$  ( $b$ ) – оператор аннигиляции фотона (вибрационного кванта) (полагаем постоянную Планка  $\hbar = 1$ ). Колебания механического резонатора в потенциале с малыми членами кубической и четвертой степени по смещениям учитываются формулой

$$V_{anh} = \frac{1}{6}v(b + b^\dagger)^3 + \frac{1}{6}w(b + b^\dagger)^4, \quad (2)$$

где  $v = v^0(1/2m\Omega)^{3/2}$ ,  $w = w^0(1/2m\Omega)^2$ ,  $m$  – масса механического резонатора,  $v^0$  и  $w^0$  – параметры, описывающие величины кубической и квартетной нелинейностей соответственно. Эти нелинейности могут быть реализованы за счет особой конструкции механического резонатора. Например, механический резонатор в [31–33] моделируется осциллятором с нелинейными членами, зависящими от кулоновского взаимодействия. В представлении взаимодействия нелинейные члены имеют вид

$$e^{iH_0 t}(V + V_{anh})e^{-iH_0 t} = -ga^\dagger a(b^\dagger e^{i\Omega t} + \text{H.c.}) + \frac{1}{6}v(b^\dagger e^{i\Omega t} + \text{H.c.})^3 + \frac{1}{6}w(b^\dagger e^{i\Omega t} + \text{H.c.})^4 \equiv H_{\text{int}}(t). \quad (3)$$

Поскольку для реальных оптомеханических систем неравенства  $\Omega \gg g, v, w$  хорошо выполняются, мы можем использовать несекулярную теорию возмущений для усреднения быстрых колебаний  $e^{\pm i n \Omega t}$  (где  $n = 1, 2, 3, 4$ ) в нестационарном гамильтониане взаимодействия (3) и получить приближенно диагональный (или диагональный), не зависящий от времени эффективный гамильтониан. В каноническом виде это можно реализовать с помощью метода усреднения Боголюбова [37–39]. Усредняя до второго порядка по малым параметрам  $g/\Omega$ ,  $v/\Omega$ ,  $w/\Omega$ , получаем

$$H_{\text{int}} \rightarrow H_{\text{int}}^{\text{eff}} = H_{\text{int},1}^{\text{eff}} + H_{\text{int},2}^{\text{eff}},$$

где

$$H_{\text{int},1}^{\text{eff}} = \langle H_{\text{int}}(t) \rangle, \\ H_{\text{int},2}^{\text{eff}} = \frac{i}{2} \langle [ \int^t d\tau (H_{\text{int}}(\tau) - \langle H_{\text{int}}(\tau) \rangle), H_{\text{int}}(t) ] \rangle. \quad (4)$$

Здесь символ  $\langle \dots \rangle$  обозначает усреднение по времени по быстрым колебаниям типа  $e^{\pm i n \Omega t}$ , задаваемым  $\langle O(t) \rangle = \frac{\Omega}{2\pi} \int_0^{2\pi/\Omega} O(t) dt$ , верхний предел  $t$  неопределенного интеграла указывает переменную, от которой зависит результат интегрирования, а квадратные скобки обозначают операцию коммутации.

Расчеты, основанные на формуле (4), дают:

$$H_{\text{int},1}^{\text{eff}} = w(b^\dagger b + b^\dagger b b^\dagger b),$$

$$H_{\text{int},2}^{\text{eff}} = \frac{gv}{\Omega} a^\dagger a - \frac{5v^2}{6\Omega} b^\dagger b - \frac{g^2}{\Omega} a^\dagger a a^\dagger a + \frac{2gv}{\Omega} a^\dagger a b^\dagger b - \frac{5v^2}{6\Omega} b^\dagger b b^\dagger b. \quad (5)$$

Вкладами, пропорциональными  $(w/\Omega)^2$ ,  $vw/\Omega^2$  и  $gw/\Omega^2$ , мы пренебрегли.

Введем также вынуждающие члены для оптического резонатора  $H_{d,a} = i\varepsilon(a^\dagger e^{-i\omega a t} - \text{H.c.})$  и для механического резонатора  $H_{d,b} = i\eta(b^\dagger e^{-i\Omega a t} - \text{H.c.})$ , где  $\varepsilon$  и  $\eta$  – амплитуды фотонного и вибрационного управляющих полей. Используя операторы эволюции  $U_a = e^{i\omega a a^\dagger a t}$  и  $U_b = e^{i\Omega a b^\dagger b t}$ , эффективный гамильтониан во вращающейся системе отсчета можно записать как

$$H^{\text{eff}} = H_0^{\text{eff}} + H_1^{\text{eff}} + H_d, \quad (6)$$

$$H_0^{\text{eff}} = \tilde{\omega}_c a^\dagger a + \tilde{\Omega} b^\dagger b,$$

$$H_1^{\text{eff}} = -\chi_a a^\dagger a a^\dagger a + \chi_{ab} a^\dagger a b^\dagger b - \chi_b b^\dagger b b^\dagger b,$$

$$H_d = i\varepsilon(a^\dagger - a) + i\eta(b^\dagger - b),$$

где  $\Delta = \omega_c - \omega_d$ ,  $\delta = \Omega - \Omega_d$ ,  $\tilde{\omega}_c = \Delta + gv/\Omega$ ,  $\tilde{\Omega} = \delta - 5v^2/6\Omega + w$ ,  $\chi_a = g^2/\Omega$ ,  $\chi_b = 5v^2/6\Omega - w$ ,  $\chi_{ab} = 2gv/\Omega$ .

Гамильтониан  $H_0^{\text{eff}}$  представляет во вращающейся системе отсчета оптический и механический резонаторы с перенормированными частотами из-за ангармоничностей кубической и четвертой степени. Первый член в  $H_1^{\text{eff}}$  описывает керровское взаимодействие фотонов в оптическом резонаторе; второй член представляет собой кросс-керровское взаимодействие фотонов и вибрационных квантов, индуцированное интерференционным вкладом кубической нелинейности колебаний механического резонатора и линейного по механическим смещениям взаимодействия оптического и механического резонаторов; третий член описывает керровское механическое самодействие механического резонатора. Следовательно, обратное действие линейных колебаний механического резонатора в оптическом резонаторе приводит к эффекту Керра для оптического поля  $\chi_a a^\dagger a a^\dagger a$ , где  $\chi_a$  – сдвиг керровской частоты на фотон. В то же время даже слабая асимметричная ангармоничность вызывает кросс-керровский эффект оптического и механического резонаторов  $\chi_{ab} a^\dagger a b^\dagger b$ , где  $\chi_{ab}$  – кросс-керровский сдвиг частоты на один фотон или вибрационный квант. Частотные сдвиги из-за индуцированного кросс-керровского эффекта зависят от количества фотонов в оптическом резонаторе и вибрационных квантов в механическом резонаторе.

Принимая во внимание и диссипацию, управляющее квантовое уравнение для матрицы плотности  $\rho$  всей системы примет вид

$$\frac{d\rho}{dt} = -i[H^{\text{eff}}, \rho] + L_c \rho + L_m \rho. \quad (7)$$

Некогерентная связь системы с окружающей средой моделируется [40] диссипаторами Линдблада:

$$L_c \rho = \frac{\kappa}{2} (2a\rho a^\dagger - a^\dagger a \rho - \rho a^\dagger a),$$

$$L_m \rho = \frac{\gamma}{2} (\bar{N} + 1) (2b\rho b^\dagger - b^\dagger b \rho - \rho b^\dagger b) + \frac{\gamma}{2} \bar{N} (2b^\dagger \rho b - b b^\dagger \rho - \rho b b^\dagger). \quad (8)$$

Фотон, попавший в резонатор, диссипируется со скоростью  $\kappa$  либо за счет прохождения, либо из-за абсорбционных потерь внутри резонатора. Затухание механической энергии характеризуется скоростью  $\gamma$ . Мы предполагаем здесь наличие резервуара с нулевой температурой для оптического резонатора и среднее тепловое число заполнения  $\bar{N} = [\exp(\Omega/k_B T) - 1]^{-1}$  резервуара механического резонатора на частоте  $\Omega$ . Используя уравнения (6)–(8), уравнения движения для средних значений динамических переменных в системе отсчета, вращающейся с частотой управляющего поля, можно записать как

$$\begin{aligned} \frac{d\langle a \rangle}{dt} &= -i(\tilde{\omega}_c - \chi_a) \langle a \rangle - \frac{\kappa}{2} \langle a \rangle + i2\chi_a \langle a^\dagger a a \rangle - i\chi_{ab} \langle a b^\dagger b \rangle + \varepsilon, \\ \frac{d\langle b \rangle}{dt} &= -i(\tilde{\Omega} - \chi_b) \langle b \rangle - \frac{\gamma}{2} \langle b \rangle + i2\chi_b \langle b^\dagger b b \rangle - i\chi_{ab} \langle a^\dagger a b \rangle + \eta. \end{aligned} \quad (9)$$

В качестве примера рассмотрим полуклассическое приближение  $\langle a \rangle = \alpha$ ,  $\langle a^\dagger a a \rangle = |\alpha|^2 \alpha$ ,  $\langle b \rangle = \beta$ ,  $\langle b^\dagger b b \rangle = \beta |\beta|^2$ ,  $\langle a b^\dagger b \rangle = \alpha |\beta|^2$ . В стационарном состоянии имеем следующую самосогласованную систему уравнений для определения среднего числа фотонов  $\bar{n}_a = |\alpha|^2$  в оптическом резонаторе и среднего числа вибрационных квантов  $\bar{n}_b = |\beta|^2$  в механическом резонаторе как функции мощности фотонного и вибрационного управляющих полей, отстроек  $\delta$  и  $\Delta$ , а также керровских и кросс-керровского параметров:

$$\left[ \frac{\gamma^2}{4} + (\tilde{\Omega} - \chi_b - 2\chi_b \bar{n}_b + \chi_{ab} \bar{n}_a)^2 \right] \bar{n}_b = \eta^2, \quad (10)$$

$$\left[ \frac{\kappa^2}{4} + (\tilde{\omega}_c - \chi_a - 2\chi_a \bar{n}_a + \chi_{ab} \bar{n}_b)^2 \right] \bar{n}_a = \varepsilon^2. \quad (11)$$

Проанализируем решения уравнений (10), (11) для параметров, которые могут быть реализованы, например, в устройстве с оптомеханической связью между многослойным графеновым механиче-

ским резонатором и сверхпроводящим микроволновым резонатором [41]. Среднее число  $\bar{n}_b$  вибрационных квантов в механическом резонаторе в зависимости от амплитуды возбуждающего вибрационного поля и кросс-керровского параметра представлено на рис. 1b. Кросс-керровский параметр  $\chi_{ab}$  может

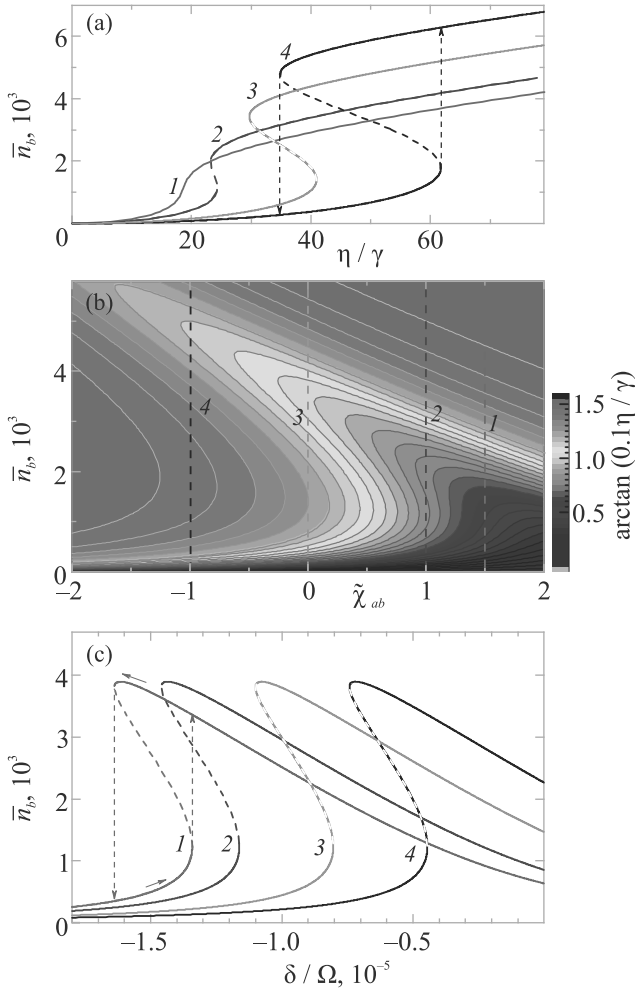


Рис. 1. (Цветной онлайн) Среднее число  $\bar{n}_b$  вибрационных квантов в механическом резонаторе. (a) –  $\bar{n}_b$  в зависимости от нормированной амплитуды  $\eta/\gamma$  возбуждающего вибрационного поля для четырех значений нормированного кросс-керровского параметра  $\tilde{\chi}_{ab} = \chi_{ab}/4.59 \cdot 10^{-8}$ : 1 – 1.5; 2 – -1; 3 – 0; 4 – -1. Параметры имеют следующие значения:  $\Omega/2\pi = 36.2$  МГц,  $g/2\pi = 0.83$  Гц,  $\kappa/2\pi = 242$  кГц,  $\gamma/2\pi = 228$  Гц,  $v/2\pi = 1.0$  Гц,  $w/2\pi = 0.05$  Гц,  $\Delta = 1 \cdot 10^{-2}\Omega$ ,  $\delta = -1 \cdot 10^{-5}\Omega$ ,  $\varepsilon/\kappa = 8.39 \cdot 10^4$  и  $\bar{n}_a = 2.83 \cdot 10^9$ . (b) –  $\bar{n}_b$  в зависимости от  $\eta/\gamma$  и  $\tilde{\chi}_{ab}$ . Вертикальные линии показывают значения  $\tilde{\chi}_{ab}$ , представленные на (a) и (c). (c) –  $\bar{n}_b$  как функция отстройки  $\delta$  механического возбуждения от частоты механического резонатора при  $\eta/\gamma = 31.22$ . Остальные параметры в (b) и (c) такие же, как в (a)

быть положительным или отрицательным в зависимости от знака параметра кубической ангармоничности. Вертикальные линии 1–4 на рис. 1b показывают разрезы при значениях  $\chi_{ab}$ , для которых получены зависимости  $\bar{n}_b$  от нормированной амплитуды  $\eta/\gamma$  возбуждающего вибрационного поля (рис. 1a). Чтобы проиллюстрировать гистерезис, стрелки показывают скачки  $\bar{n}_b$ , когда возбуждающее поле увеличивается или уменьшается. Видно, что диапазон амплитуд возбуждающего вибрационного поля, для которого может существовать бистабильное поведение  $\bar{n}_b$ , больше при отрицательном кросс-керровском параметре, чем при положительном (рис. 1a). Более того, увеличение положительного кросс-керровского параметра  $\chi_{ab}$  приводит к кроссоверу от бистабильного к монотонному (линия 1 на рис. 1a) поведению. Зависимость  $\bar{n}_b$  от отстройки  $\delta$  частоты механического возбуждения от частоты механического резонатора также обнаруживает бистабильность (рис. 1c). Увеличение положительного кросс-керровского параметра уменьшает область бистабильности. Полученные гистерезисные зависимости  $\bar{n}_b(\eta)$  аналогичны таковым для осциллятора Дуффинга. Однако есть важная отличительная особенность, а именно наличие кросс-керровского вклада  $\chi_{ab}\bar{n}_a(\varepsilon)$ , который является бистабильным из-за бистабильного поведения  $\bar{n}_a(\varepsilon)$ . Таким образом, зависимость  $\bar{n}_b(\eta)$  определяется не только силой возбуждающего фотонного поля  $\varepsilon$ . Она также сильно зависит от того, стабильная или метастабильная ветвь  $\bar{n}_a(\varepsilon)$  реализуется. В частности, в расчетах, представленных на рис. 1, была выбрана стабильная ветвь  $\bar{n}_a(\varepsilon)$ .

Рассмотрим эволюцию системы при отсутствии управляющих членов в гамильтониане (6) ( $\varepsilon, \eta = 0$ ) и диссипации в уравнении (8) ( $\gamma, \kappa = 0$ ). В этом случае эффективный гамильтониан диагонален. Это означает, что нет обмена квантами между оптическим и механическим резонаторами. Из уравнения (6) видно, что  $[H_0^{\text{eff}}, H_1^{\text{eff}}] = 0$ , поэтому в представлении взаимодействия получаем:  $H^{\text{eff}} \rightarrow e^{iH_0^{\text{eff}}t} H_1^{\text{eff}} e^{-iH_0^{\text{eff}}t} = H_1^{\text{eff}}$ . Когда мода оптического резонатора изначально находится в вакуумном состоянии, а вибрационная мода – в когерентном состоянии  $|\beta\rangle$ , то два члена в  $H_1^{\text{eff}}$ , содержащие  $a^\dagger a$  и  $(a^\dagger a)^2$ , не вносят вклада, и эволюция системы определяется керровским членом  $-\chi_b(b^\dagger b)^2$ . Поэтому волновая функция вибрационной моды механического резонатора представима в виде  $\psi_b(t) = e^{i\chi_b(b^\dagger b)^2 t} |\beta\rangle$ . Для  $t = \pi/2\chi_b$  волновая функция описывает суперпозицию двух когерентных состояний с противофазами:  $\psi_b(\pi/2\chi_b) = [e^{i\pi/4}|\beta\rangle + e^{-i\pi/4}|-\beta\rangle]/\sqrt{2}$ . В результате начальное когерентное состояние механического

го осциллятора по прошествии подходящего времени эволюционирует в состояния, подобные состояниям Юрке–Столера [42]. Очевидно, что в силу симметрии гамильтониана, аналогичный результат получается и в том случае, когда механический осциллятор изначально находится в вакуумном состоянии, а мода оптического резонатора – в когерентном состоянии  $|\alpha\rangle$ . Следовательно, волновую функцию оптического резонатора можно представить в виде  $\psi_a(\pi/2\chi_a) = [e^{i\pi/4}|\alpha\rangle + e^{-i\pi/4}|-\alpha\rangle] / \sqrt{2}$ .

Рассмотрим также случай, когда начальное когерентное состояние реализуется как для оптического, так и для механического осцилляторов, т.е. матрицу плотности системы можно записать как  $\rho = |\alpha\rangle\langle\alpha| |\beta\rangle\langle\beta|$ . Тогда, например, для оптического осциллятора получаем следующее выражение:

$$\rho_a(t) = e^{-|\alpha|^2} \sum_{n,m} \frac{\alpha^n \alpha^{*m}}{\sqrt{n!m!}} e^{i\chi_a(n_a^2 - m_a^2)t} \times \\ \times \exp \left[ |\alpha|^2 (e^{-i\chi_{ab}(n_a - m_a)t} - 1) \right] |n_a\rangle\langle m_a|. \quad (12)$$

Видно, что из-за кросс-керровского взаимодействия моды оптического и механического резонаторов перепутаны в процессе эволюции. Однако в момент времени  $t = 2\pi/\chi_{ab}$

$$\rho_a(2\pi/\chi_{ab}) = e^{-|\alpha|^2} \sum_{n,m} \frac{\alpha^n \alpha^{*m}}{\sqrt{n!m!}} \times \\ \times \exp \left[ i2\pi \frac{\chi_a}{\chi_{ab}} (n_a^2 - m_a^2) \right] |n_a\rangle\langle m_a|. \quad (13)$$

Из уравнения (13) следует, что при  $\chi_a/\chi_{ab} = 1$  начальное когерентное состояние оптической моды  $|\alpha\rangle$  полностью восстанавливается в указанный момент времени. При  $\chi_a/\chi_{ab} = 1/2$  состояние преобразуется в  $|-\alpha\rangle$ . При  $\chi_a/\chi_{ab} = 1/4$  реализуется суперпозиционное состояние  $[e^{i\pi/4}|\alpha\rangle + e^{-i\pi/4}|-\alpha\rangle] / \sqrt{2}$ , и матрица плотности системы может быть записана в виде

$$\rho(2\pi/\chi_{ab}) = \frac{1}{2} [|\alpha\rangle\langle\alpha| + |-\alpha\rangle\langle-\alpha| + \\ + i(|\alpha\rangle\langle-\alpha| - |-\alpha\rangle\langle\alpha|) |\beta\rangle\langle\beta|. \quad (14)$$

Чтобы оценить потерю когерентности суперпозиционных когерентных состояний из-за их взаимодействия с окружающей средой, можно использовать уравнения (8) для диссипаторов микроволнового и механического резонаторов. При малых  $t$  ( $\kappa t \ll 1$  и  $\gamma t \ll 1$ ) затухание когерентности [43] описывается временами  $\tau_a \approx [2\kappa|\alpha|^2]^{-1}$  и  $\tau_b \approx [2\gamma(2\bar{N} + 1)|\beta|^2]^{-1}$  для суперпозиционных состояний микроволнового и

механического резонаторов, соответственно. Видно, что времена затухания сильно зависят от параметров смещения  $\alpha$  и  $\beta$ , а также температуры окружающей среды через среднее тепловое число заполнения  $\bar{N}$ . Используя следующие параметры:  $\kappa/2\pi = 242$  кГц,  $\gamma/2\pi = 228$  Гц,  $\Omega/2\pi = 36.2$  МГц,  $\omega_c/2\pi = 5.9$  ГГц,  $T = 14$  мК [41] и  $|\alpha|^2 = |\beta|^2 = 2$ , получаем, что  $\bar{N} \approx 7.6$ ,  $\tau_a = 1.64 \times 10^{-7}$  с,  $\tau_b = 1.08 \cdot 10^{-5}$  с, т.е.  $\tau_a^{-1}/\kappa = 4$  и  $\tau_b^{-1}/\gamma = 64.5$ . Итак, скорость затухания когерентности фотонных суперпозиционных состояний в микроволновом резонаторе в четыре раза больше, чем скорость их диссипации, а для вибрационных квантов скорость затухания когерентности превышает скорость диссипации на два порядка.

Таким образом, мы исследовали оптомеханическую систему с несимметричным ангармоническим механическим резонатором. Когда частоты механических колебаний превышают параметры, характеризующие взаимодействие оптической и механической подсистем и скорости их затухания, а также значения кубической и квартетной ангармоничности, эту систему можно заменить эффективной с помощью метода усреднения Боголюбова. Установлено, что в гамильтониане эффективной системы присутствует керровское взаимодействие фотонов в оптическом резонаторе, а также кросс-керровское взаимодействие фотонов и вибрационных квантов, вызванное колебаниями в асимметричном ангармоническом потенциале механического резонатора. Кроме того, присутствует керровское самодействие механического резонатора. Предсказано бистабильное поведение среднего числа квантов механических колебаний в зависимости от мощности механического возбуждения и его отстройки от частоты резонатора. Это поведение управляется кросс-керровским взаимодействием. Мы также показали, что в отсутствие возбуждения и диссипации построенные суперпозиционные состояния Юрке–Столера для оптического (или механического) резонатора в определенные моменты времени распутывают запутанные моды системы. Наш подход также может быть полезен для изучения гибридной системы, состоящей из квантовой точки и оптического нанорезонатора, связанных посредством механического резонатора [44, 45]. Дальнейшие как теоретические, так и экспериментальные исследования позволят лучше понять поведение оптомеханических систем с асимметричными механическими колебаниями.

1. F. Marquardt, J. P. Chen, A. A. Clerk, and S. M. Girvin, Phys. Rev. Lett. **99**, 93902 (2007).

2. A. Schliesser, P. Del'Haye, N. Nooshi, K. J. Vahala, and T. J. Kippenberg, *Phys. Rev. Lett.* **97**, 243905 (2006).
3. J. D. Teufel, J. W. Harlow, C. A. Regal, and K. W. Lehnert, *Phys. Rev. Lett.* **101**, 197203 (2008).
4. F. Massel, T. T. Heikkilä, J.-M. Pirkkalainen, S. U. Cho, H. Saloniemi, P. J. Hakonen, and M. A. Sillanpää, *Nature* **480**, 351 (2011).
5. A. A. Clerk, F. Marquardt, and K. Jacobs, *New J. Phys.* **10**, 95010 (2008).
6. M. Aspelmeyer, T. J. Kippenberg, and F. Marquardt, *Rev. Mod. Phys.* **86**, 1391 (2014).
7. S. Mancini, V. I. Man'ko, and P. Tombesi, *Phys. Rev. A* **55**, 3042 (1997).
8. X.-W. Xu, H. Wang, J. Zhang, and Y.-x. Liu, *Phys. Rev. A* **88**, 63819 (2013).
9. M. Paternostro, D. Vitali, S. Gigan, M. S. Kim, C. Brukner, J. Eisert, and M. Aspelmeyer, *Phys. Rev. Lett.* **99**, 250401 (2007).
10. D. Vitali, S. Gigan, A. Ferreira, H. R. Böhm, P. Tombesi, A. Guerreiro, V. Vedral, A. Zeilinger, and M. Aspelmeyer, *Phys. Rev. Lett.* **98**, 30405 (2007).
11. L. Tian, *Phys. Rev. Lett.* **110**, 233602 (2013).
12. L. Tian, *Phys. Rev. Lett.* **108**, 153604 (2012).
13. Y.-D. Wang and A. A. Clerk, *Phys. Rev. Lett.* **108**, 153603 (2012).
14. J. Bochmann, A. Vainsencher, D. D. Awschalom, and A. N. Cleland, *Nat. Phys.* **9**, 712 (2013).
15. G. S. Agarwal and S. Huang, *Phys. Rev. A* **81**, 041803 (2010).
16. H. Jing, Ş. K. Özdemir, Z. Geng, J. Zhang, X.-Y. Lü, B. Peng, L. Yang, and F. Nori, *Sci. Rep.* **5**, 9663 (2015).
17. P.-C. Ma, J.-Q. Zhang, Y. Xiao, M. Feng, and Z.-M. Zhang, *Phys. Rev. A* **90**, 43825 (2014).
18. J. M. Dobrindt, I. Wilson-Rae, and T. J. Kippenberg, *Phys. Rev. Lett.* **101**, 263602 (2008).
19. S. Huang and G. S. Agarwal, *Phys. Rev. A* **80**, 033807 (2009).
20. T. T. Heikkilä, F. Massel, J. Tuorila, R. Khan, and M. A. Sillanpää, *Phys. Rev. Lett.* **112**, 203603 (2014).
21. M. Bhattacharya and P. Meystre, *Phys. Rev. Lett.* **99**, 073601 (2007).
22. A. Xuereb and M. Paternostro, *Phys. Rev. A* **87**, 023830 (2013).
23. J. D. Thompson, B. M. Zwickl, A. M. Jayich, F. Marquardt, S. M. Girvin, and J. G. E. Harris, *Nature* **452**, 72 (2008).
24. Y. R. Shen, *The principles of nonlinear optics*, Wiley-Interscience, N.Y., Hoboken (2003).
25. Z. R. Gong, H. Ian, Y.-x. Liu, C. P. Sun, and F. Nori, *Phys. Rev. A* **80**, 065801 (2009).
26. P. Rabl, *Phys. Rev. Lett.* **107**, 063601 (2011).
27. A. Nunnenkamp, K. Børkje, and S. M. Girvin, *Phys. Rev. Lett.* **107**, 063602 (2011).
28. V. Kaajakari, T. Mattila, A. Oja, and H. Seppä, *Journal of Microelectromechanical Systems* **13**, 715 (2004).
29. P. Huang, J. Zhou, L. Zhang, D. Hou, S. Lin, W. Deng, C. Meng, C. Duan, C. Ju, X. Zheng, F. Xue, and J. Du, *Nat. Commun.* **7**, 11517 (2016).
30. K. Jacobs and A. J. Landahl, *Phys. Rev. Lett.* **103**, 067201 (2009).
31. J.-Q. Zhang, Y. Li, M. Feng, and Y. Xu, *Phys. Rev. A* **86**, 053806 (2012).
32. C. Kong, H. Xiong, and Y. Wu, *Phys. Rev. A* **95**, 033820 (2017).
33. Z. Wu, R.-H. Luo, J.-Q. Zhang, Y.-H. Wang, W. Yang, and M. Feng, *Phys. Rev. A* **96**, 033832 (2017).
34. S. Huang, H. Hao, and A. Chen, *Applied Sciences* **10**, 5719 (2020).
35. X.-Y. Lü, J.-Q. Liao, L. Tian, and F. Nori, *Phys. Rev. A* **91**, 013834 (2015).
36. L. Latmiral, F. Armata, M. G. Genoni, I. Pikovski, and M. S. Kim, *Phys. Rev. A* **93**, 052306 (2016).
37. N. N. Bogoliubov and Y. A. Mitropolsky, *Asymptotic Methods in the Theory of Nonlinear Oscillations*, Gordon and Breach, N.Y. (1961).
38. A. P. Saiko, S. A. Markevich, and R. Fedaruk, *Phys. Rev. A* **93**, 063834 (2016).
39. A. P. Saiko, S. A. Markevich, and R. Fedaruk, *Phys. Rev. A* **98**, 043814 (2018).
40. H. J. Carmichael, *Statistical Methods in Quantum Optics 2: Non-Classical Fields*, Springer-Verlag, Berlin, Heidelberg (2008).
41. V. Singh, O. Shevchuk, Y. M. Blanter, and G. A. Steele, *Phys. Rev. B* **93**, 245407 (2016).
42. B. Yurke and D. Stoler, *Phys. Rev. Lett.* **57**, 13 (1986).
43. H. Saito and H. Hyuga, *J. Phys. Soc. Jpn.* **65**, 1648 (1996).
44. Z.-L. Xiang, S. Ashhab, J. Q. You, and F. Nori, *Rev. Mod. Phys.* **85**, 623 (2013).
45. J. E. Ramirez-Munõz, J. P. Restrepo Cuartas, and H. Vinck-Posada, *Phys. Lett. A* **382**, 3109 (2018).